

- [3] В. Г. Плеханов, Г. Г. Лийдья. Изв. АН СССР, сер. физ., 38, 1304, 1974; W. C. de Gruijter. J. Sol. Stat. Chem., 6, 151, 1973; Ph. D. Thesis, University of Utrecht, Netherlands, 1972.
- [4] W. A. Runciman. Sol. Stat. Commun., 6, 537, 1968.
- [5] Г. Г. Лийдья, В. Г. Плеханов. Опт. и спектр., 36, 945, 1974.
- [6] А. Н. Винчел, Г. Винчел. Оптические свойства искусственных минералов, 465. Изд. «Мир», М., 1965.
- [7] V. G. Plekhanov. Phys. Stat. Sol. (b) 57, K55, 1973.
- [8] Н. Н. Кристоффель, В. В. Хижняков. Опт. и спектр., 34, 1236, 1973; V. Hizhnyakov, S. Zazubovich, T. Sovovik. Phys. Stat. Sol. (b), 66, 727, 1974.
- [9] Ch. B. Lushchik. Color Centers in Alkali Halides, 189. International Symposium, Rome, 1968.

Поступило в Редакцию 29 июля 1974 г.

УДК 621.373 : 535

ЛАБОРАТОРНЫЕ ИЗМЕРЕНИЯ ОСЛАБЛЕНИЯ ИЗЛУЧЕНИЯ CO₂-ЛАЗЕРА ЧИСТЫМ ВОДЯНЫМ ПАРОМ

B. N. Арефьев, B. I. Дианов-Клоков, B. F. Радионов и N. I. Сизов

В связи с развитием лазерной техники и, в частности, большой перспективностью использования CO₂-лазеров в различных отраслях науки и техники в последнее время заметно усилился интерес к исследованиям ослабления лазерного излучения водяным паром в окне относительной прозрачности атмосферы 8–12 мкм. Однако большинство таких исследований выполнялось на естественных оптических трассах, где имеет место одновременное влияние различных факторов, в том числе недостаточно точно определенных. Модельные же исследования малоочислены и часто не охватывают достаточных диапазонов изменения параметров, реализующийся в атмосфере.

В оптической многоходовой кювете с базой 50 м [1] при температуре 20 ± 1°C были проведены измерения пропускания излучения CO₂-лазера трехкилометровым слоем чистого водяного пара при его содержаниях до ω = 5 см осажденного слоя. В качестве источника излучения использовался CO₂-лазер промышленного типа ЛГ-22. Анализ спектра излучения с помощью спектрометра с разрешением 0.2 см⁻¹ показал, что генерация попеременно происходила на переходах P(16), P(20), P(22), P(24). Специальных мер по разделению полученных результатов соответственно отдельным линиям не предпринималось. Таким образом, приводимые ниже данные следует рассматривать как усредненные для интервала длии волн 10.60 ± 0.05 мкм.

Для устранения погрешности, связанной с изменением мощности лазера, измерения пропускания излучения проводились по двухканальной схеме. Величина пропускания T_λ определялась из выражения

$$T_\lambda = \frac{I_u/I_k}{I_u^0/I_k^0}, \quad (1)$$

где I_u^0 и I_u — интенсивности излучения при отсутствии водяного пара в кювете (остаточное давление 2 · 10⁻⁴ тор) и с водяным паром соответственно, а I_k^0 и I_k — интенсивности излучения до входа в кювету.

Водяной пар подавался в кювету небольшими порциями из специального термостатированного испарителя. Измерения пропускания велись после выставивания кюветы до наступления равновесного состояния. Содержание водяного пара определялось по величине давления пара в кювете, измеряемого манометром ППР-2М. Общая случайная ошибка измерений пропускания составляла ± 8.0%.

Результаты экспериментов на рисунке представлены точками. Обработка результатов по методу наименьших квадратов показала, что они аппроксимируются следующими выражениями:

$$T_\lambda = e^{-0.048\omega^{1.83}} \quad (2)$$

при $\Sigma = 0.0429$,
или

$$T_\lambda = e^{-(0.031\omega + 0.029\omega^2)} \quad (3)$$

при $\Sigma = 0.0426$ (Σ — среднеквадратичное отклонение величин T_λ) откуда для трассы произвольной длины L (км)

$$T_\lambda = e^{-1.75 \cdot 10^{-3} \omega^{1.83} L} \quad (2')$$

или

$$T_\lambda = e^{-(3.22\omega + 0.82\omega^2)10^{-3}L}, \quad (3'')$$

где a ($\text{г}/\text{м}^3$) — абсолютная влажность. Выражениям (1) и (2) на рисунке соответствуют кривые 1 и 2. На том же рисунке построены штрихпунктирная кривая, рассчитанная по формуле из [2]

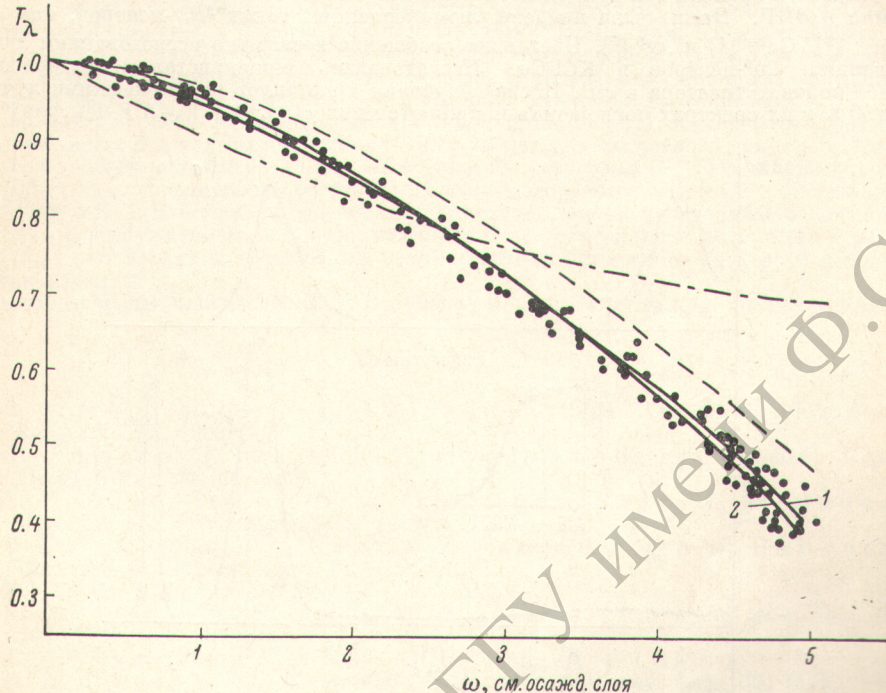
$$T_\lambda = e^{-0.09\omega}, \quad (4)$$

и штриховая кривая, рассчитанная для нашего значения $L \approx 3$ км по формуле из [3]

$$T_\lambda = e^{-8.39 \cdot 10^{-4} p^2 L}, \quad (5)$$

где $p = \omega\theta/28.8L$ — парциальное давление в торах ($\theta = 293$ К).

Из рисунка видно, что расчет по формуле (4), предполагающей независимость



Пропускание излучения CO₂-лазера водяным паром при различных значениях ω .

спектральных свойств водяного пара от его объемной концентрации, существенно отличается от экспериментальных данных. Применение формулы (5) дает значительно лучший результат. Расхождение в этом случае невелико, причем оно может оказаться связанным с различием температур в наших опытах и экспериментах [3]. Формулы (2) и (3) хорошо аппроксимируют экспериментальные данные при содержаниях водяного пара вплоть до $\omega = 5$ см (осажденного слоя). Их вид не противоречит гипотезам [4, 5] о существовании двух механизмов поглощения излучения водяным паром в области около 10.6 мкм, связанных с мономером водяного пара, с одной стороны, и с димером или обводненным аэрозолем — с другой. Однако сделать выбор между димерным и аэрозольным механизмами поглощения по рассматриваемым данным пока не представляется возможным.

Литература

- [1] В. Н. Арефьев, О. А. Волковицкий, Н. В. Гончаров, В. И. Дианов-Клоков. ПТЭ, № 1, 1974.
- [2] Н. И. Москаленко, О. В. Зотов, В. П. Дугин. Ж. прикл. спектр., 17, 65, 1972.
- [3] J. H. McCoy, R. K. Long. Appl. Opt., 8, № 7, 1969.
- [4] K. J. Bignell. Quart. Roy. Met. Soc., 95, № 409, 1970.
- [5] М. С. Малкевич, Ю. С. Георгиевский, Г. В. Розенберг, Х. А. Шкуров, А. И. Чавро. Изв. АН СССР, сер. ФАО, 9, № 12, 1973.

Поступило в Редакцию 29 июля 1974 г.